

## フレキシブルマニピュレータの2段階軌道生成法の提案 (省エネルギー化への検討)

旭川工業高等専門学校 ○森脇 大, 阿部 晶  
要旨

本研究では、1リンクフレキシブルマニピュレータの Point-to-Point (PTP) 制御問題を扱い、省エネルギー化と振動制御を目的とした2段階軌道計画法を提案する。数値シミュレーションを実施し、提案手法の省エネルギー効果について検討する。

### 1. はじめに

著者らはフレキシブルリンクから構成されるマニピュレータの Point-to-Point (PTP) 制御問題を扱い、駆動エネルギーと残留振動を同時に最小化する多目的最適化に基づく軌道計画法、すなわち、フィードフォワード振動制御法を提案してきた[1, 2]。ここで得られた最適軌道に沿ってマニピュレータを旋回させると、駆動エネルギーを最小化しつつ残留振動が抑制される仕組みとなっている。先行研究[3]においては、柔軟性の物理的な現象に着目して、フレキシブルマニピュレータの2段階軌道計画法を提案した。そして、数値シミュレーションから、従来手法よりもさらなる省エネルギー化が図られることを明らかにした。本研究では、先行研究の2段階軌道計画法を発展させた省エネルギー化と振動制御法を提案する。数値シミュレーションを実施し、提案手法の有効性を検証する。

### 2. 1リンクフレキシブルマニピュレータ

本研究で扱うフレキシブルマニピュレータ[1]のモデル図を図1に示す。図中の $\theta$ はマニピュレータの関節角、 $w$ は変位を示している。なお、実験装置では、長さ×幅×厚さ=475 mm×50 mm×1 mm の真鍮製のはりをフレキシブルマニピュレータとしてみなし、その先端には質量 35.9 g の集中質量が取り付けられている。この系の運動方程式は次のとおりである。

$$\alpha_1 \ddot{\theta} + \alpha_2 \ddot{W} + c \dot{\theta} = \tau \quad (1)$$

$$\ddot{W} + 2\zeta\omega\dot{W} + \omega^2 W + \beta_1 \ddot{\theta} + \beta_2 \dot{\theta}^2 W = 0 \quad (2)$$

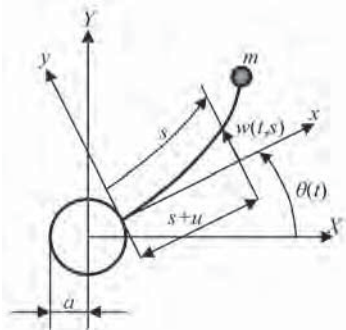


Fig. 1: Schematic of a single-link flexible manipulator.

Table 1 Parameters of equations

Parameter	Value
$\alpha_1$	$2.383 \times 10^{-2}$ [kgm <sup>2</sup> ]
$\alpha_2$	$9.261 \times 10^{-2}$ [kgm]
$c$	$3.091 \times 10^{-2}$ [Nms]
$\zeta$	$9.636 \times 10^{-3}$ [-]
$\beta_1$	$2.555 \times 10^{-1}$ [m]
$\beta_2$	$2.614 \times 10^{-1}$ [-]
$\omega$	10.43 [rad/s]

ここで、式(1), (2)はそれぞれマニピュレータの回転運動およびフレキシブルリンクの振動を表しており、 $W$ は1次振動モードの振幅、 $\tau$ はモータの駆動トルクである。この2つの方程式中の係数は表1で与えられる。

### 3. 2段階軌道計画法

マニピュレータを時間  $T_E$  で目標角度  $\theta_E$  まで回転させる PTP 制御問題に対し、下記の2段階軌道計画法を適用する[3]。マニピュレータ関節角の最適化軌道  $\theta_{opt}(t)$  は次式のサイクロイド関数から生成される。

$$\theta_{opt}(t) = \bar{\theta}_E \left\{ u(t) - \frac{\sin[2\pi u(t)]}{2\pi} \right\} + \bar{\theta}_s \quad (3)$$

ここで、2段階軌道計画法として  $\bar{\theta}_E$ ,  $\bar{\theta}_s$  および入力  $u(t)$  を次式のように与える。

$$0 \leq t \leq T_0 : \bar{\theta}_E = \theta_0, \bar{\theta}_s = 0, u(t) = \frac{t}{T_0} \quad (4)$$

$$T_0 \leq t \leq T_E : \bar{\theta}_E = \theta_E - \theta_0, \bar{\theta}_s = \theta_0 \\ u(t) = \frac{t - T_0}{T_E - T_0} + (1 - T^2) \sum_{n=1}^N a_n T^{n-1} \quad (5)$$

ここで、

$$0 \leq \theta_0 < \theta_E, 0 \leq T_0 < T_E, T = -1 + \frac{2(t - T_0)}{T_E - T_0} \quad (6)$$

と定義されている。式(4)は時間  $T_0$ 、角度  $\theta_0$  までサイクロイド曲線で旋回することを意味している。これにより、フレ

キシブルマニピュレータを負の方向にたわませ、駆動エネルギー抑制を試みている[3]。一方、式(5)に示されるように時間  $T_0$  から  $T_E$  まで入力  $u(t)$  をべき級数で与えて目標角度  $\theta_E$  までの軌道を生成させる。この区間で残留振動を抑制させる軌道生成を試みている。この場合、関節角軌道  $\theta_{opt}(t)$  は式(4)の  $T_0, \theta_0$  ならびに式(5)のべき級数の係数  $a_n$  に依存することとなる。以下に省エネルギー残留振動抑制軌道の生成法の概要を示す。

最適化される探索パラメータを式(4)の  $T_0, \theta_0$  と式(5)の係数  $a_n (n=1, 2, \dots, N)$  と設定し、式(3)–(6)から関節角軌道  $\theta_{opt}(t)$  を生成する。この軌道に基づいて式(2)を数値積分し、フレキシブルリンクのダイナミクスを求める。次いで、式(2)の数値積分結果を用いて式(1)の逆動力学解析から駆動トルク  $\tau$  を求める。駆動エネルギー最小化と残留振動抑制の両立を図るために、評価関数  $F$  を

$$F = \sum_{m=1}^M |\tau_m| \quad (7)$$

と設定する。ここで、 $\tau_m$  は数値積分の時間刻み幅  $\Delta t = 2 \text{ ms}$  ごとの駆動トルクを示しており、 $M$  は  $M = (T_E+1)/\Delta t$  と定義されている。したがって、 $F$  はマニピュレータ駆動開始から位置決め時間  $T_E+1 \text{ s}$  までの駆動トルクの総和を意味している。このように、マニピュレータ旋回終了後から 1 s までの駆動トルクを考慮することによって、省エネルギー化のみならず残留振動抑制が達成できる[4]。そして、式(7)の評価関数が最小化されるよう粒子群最適化(PSO)を適用し、探索パラメータをチューニングする。この評価関数の最小化の結果から、省エネルギー残留振動抑制軌道が生成される。

#### 4. シミュレーション結果および考察

以下に示すシミュレーションでは、粒子群最適化の個体数を 50、反復回数を 100 とし、最適化されるパラメータの範囲を

$$T_0 \in [0.10, 0.25], \theta_0 \in [0, \pi/18], a_n \in [-0.3, 0.3] \quad (8)$$

と設定し、べき級数の項数は  $N=4$  とした。駆動条件は  $T_E = 0.8 \text{ s}, \theta_E = \pi/6 \text{ rad}$  を採用した。

図 2 は本手法で得られた最適化軌道とサイクロイド曲線軌道( $T_0=\theta_0=a_n=0$ )との比較である。図 2(c)に示されるように、サイクロイド曲線では位置決め後 0.8 s 以降に大きな残留振動が発生するが、本手法では残留振動が完全に抑制されている。また図 2(d)より、サイクロイド曲線では位置決め後に残留振動に対してマニピュレータを目標角  $\theta_E = \pi/6 \text{ rad}$  に保持するためのトルクが発生している。式(7)の評価関数では位置決め後の駆動トルクも考慮しており、この保持トルクの最小化から残留振動抑制が達成されている。駆動エネルギーの比較を表 2 に示す。なお、駆動エネルギーは

$$E = \int_0^{\theta_E} |\tau| d\theta \quad (9)$$

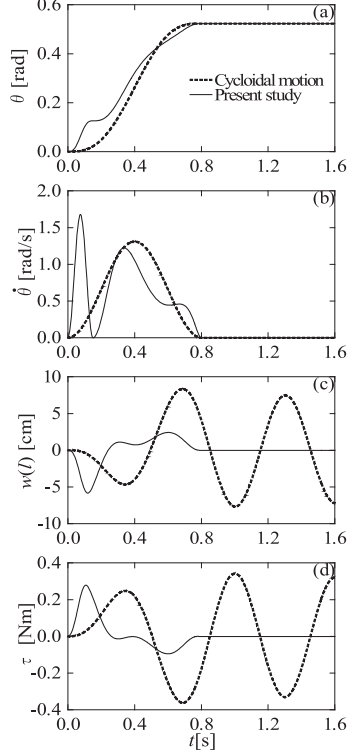


Fig. 2: Comparison of the simulation results obtained by the present method and those obtained by Cycloidal motion ( $\theta_E = \pi/6 \text{ rad}, T_E = 0.8 \text{ s}$ ): (a) joint angle, (b) angular velocity, (c) tip displacement, and (d) motor torque.

Table 2 Comparison of driving energy  $E$  [J]

Cycloid	Ref. [3]	Present method
$9.13 \times 10^{-2}$	$4.12 \times 10^{-2}$	$3.61 \times 10^{-2}$

と定義されている。先行研究[3]では、 $T_0 = 0.15 \text{ s}, \theta_0 = \pi/36 \text{ rad}$  と固定し、残留振動抑制および駆動エネルギー最小化の多目的最適化からべき級数の係数  $a_n$  をチューニングさせて軌道を得た。表 2 に示されるように、本手法のものは先行研究よりもその値は小さく、エネルギー削減効果が表れている。ゆえに、式(4)の  $T_0, \theta_0$  のパラメータチューニングならびに式(7)の評価関数の最小化は、フレキシブルマニピュレータの省エネルギー残留振動抑制のための軌道生成法に有效といえる。

#### 参考文献

- [1] Abe A. and Kimuro K., Minimum energy trajectory planning for vibration control of a flexible manipulator using a multi-objective optimization approach, International Journal of Mechatronics and Automation, Vol.2, No.4, 286/294, (2012)
- [2] 阿部 晶, 柔軟構造物の省エネルギーードフォワード制御, 第 57 回自動制御連合講演会論文集, 623/627, (2014)
- [3] 阿部 晶, フレキシブルマニピュレータの 2 段階軌道生成法の提案, 第 48 回計測自動制御学会北海道支部学術講演会論文集, 21/22, (2016)
- [4] 阿部 晶, 駆動トルクに着目したフレキシブルマニピュレータの軌道計画, 日本機械学会論文集 C 編, Vol.74, No.745, 2246/2253, (2008)